

Utilisation du MBSA pour l'évaluation d'un événement sécuritaire ferroviaires SIL2

Model-Based Safety Approach for SIL2 railway safety event assessment

DUTHOIT Sébastien
Groupe LGM
Villeneuve d'ascq (FR) / Charleroi (BE)
sebastien.duthoit@lgm.eu

TBC
ALSTOM
Charleroi (BE)
TBC

RESUMÉ — L'approche par les modèles tend à prendre une part importante dans les analyses de sûreté de fonctionnement afin de répondre à la complexité croissante des systèmes étudiés. Le contexte normatif Ferroviaire demande une grande maîtrise des approches afin de répondre aux besoins de certification. L'approche par les modèles n'y est pas encore déployée à grande échelle. L'objectif de cette publication est de présenter un cas pratique d'une modélisation utilisée dans le cadre de la démonstration d'un niveau d'intégrité SIL2 pour une fonction sécuritaire et en modélisant les tests périodiques (tests automatiques ou en maintenance préventive). Elle présentera également les enjeux de l'utilisation de cette méthodologie dans le contexte normatif ferroviaire.

ABSTRACT— The model-based approach tends to play an increasingly role in functional safety analyses to respond to the growing complexity of studied systems. The railway certification context requires a high mastery of approaches to meet certification needs. The model-based approach is not yet widely deployed in this context. The objective of this publication is to present a practical case of a modeling used in the context of an SIL2 integrity level safety function demonstration and by modeling periodic tests (automatic tests or preventive maintenance). The use of this methodology in the railway regulatory context will also be presented.

MOTS-CLEFS, KEYWORDS — MBSA, Sécurité, Safety, Ferroviaire, Railways, Tests Périodiques, Periodic Tests EN50126, EN50129,

I. INTRODUCTION

Les systèmes ferroviaires intègrent de nombreuses fonctions de sécurité essentielles. Les normes régissant ce secteur incluent les normes CENELEC EN50126-1[R2] et EN50126-2[R3] pour la gestion de la sécurité tout au long du cycle de vie, EN50128[R4] et EN50657[R5] pour la gestion de la sécurité logicielle, ainsi que la norme EN50129[R6] pour la gestion de la sécurité matérielle. Dans leurs versions les plus récentes, ces normes définissent des niveaux d'intégrité de sécurité allant du niveau "Basic Integrity", le moins exigeant, au niveau SIL4, le plus exigeant.

Alstom est acteur clé pour la conception et la fourniture de systèmes ferroviaires. Le groupe LGM supporte Alstom dans les analyses de sûreté de fonctionnement.

Face à la complexité croissante des systèmes ferroviaires, les analyses basées sur une approche traditionnelle deviennent de plus en plus complexes à réaliser. L'approche par modélisation se présente alors comme une solution pertinente pour maîtriser efficacement les scénarios critiques et gagner en efficacité dans les analyses.

L'objectif de cet article est de présenter un cas d'étude illustrant l'utilisation d'une modélisation pour quantifier un événement redouté visant à atteindre un niveau SIL2. Dans une première partie, nous présenterons le cas d'étude. Dans une seconde partie, nous aborderons les différentes approches employées et les résultats obtenus. Enfin, dans une troisième partie, nous expliquerons

34 comment cette approche peut être intégrée dans le processus de certification. Nous concluons par une synthèse des principaux
35 enseignements tirés de cette étude.

36

37

II. DESCRIPTION DU CAS D'ÉTUDE

38

Le contrôle des moteurs d'un train s'effectue à travers l'utilisation d'un coffre de traction. Ce dernier se compose d'une partie
39 de contrôle et d'une partie de puissance chargée de convertir l'énergie de la caténaire vers les moteurs. Un déplacement intempestif
40 du train représente un événement sécuritaire identifié lors de l'analyse préliminaire des risques.

41

Afin d'atteindre le niveau de sécurité approprié au niveau système, des fonctions indépendantes sont définies et allouées à
42 plusieurs composants du train, chacune avec son niveau d'intégrité (niveau « SIL » pour couvrir les pannes systémiques) et son
43 taux de panne (« TFFR » pour couvrir les pannes aléatoires).

44

Le coffre de traction doit être capable d'inhiber en toute sécurité les impulsions de contrôle du moteur afin d'éviter toute
45 application d'un effort de traction intempestif, que ce soit en station ou lors d'un freinage d'urgence. Un niveau SIL2 est requis
46 sur cette fonction.

47

Contrairement à la norme IEC 61508 [R8], les normes CENELEC ne nécessitent pas de diversification fonctionnelle et
48 technologique. Cependant, cette diversification peut tout de même être mise en œuvre afin de faciliter l'atteinte du niveau de
49 sécurité requis tout en éliminant les modes de défaillance communs.

50

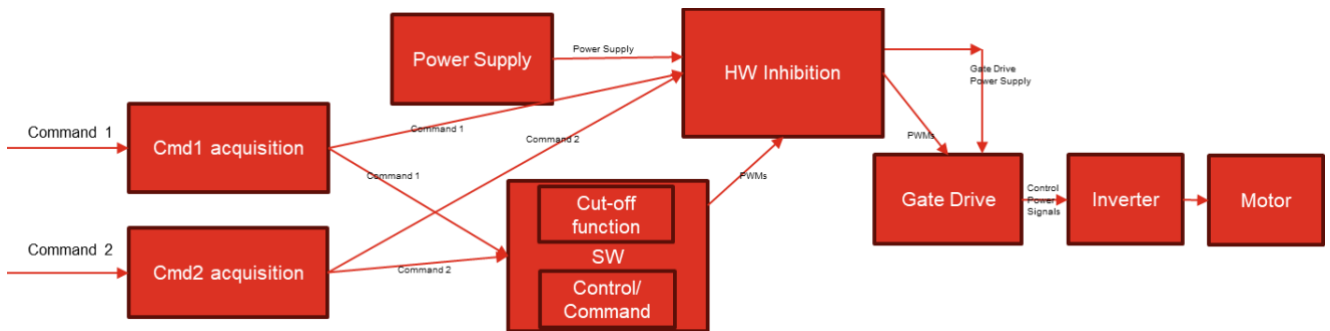
Pour l'inhibition des impulsions et afin d'assurer une diversification technologique, cette fonction est réalisée à la fois par une
51 fonction logicielle et une fonction matérielle. Pour garantir la diversification fonctionnelle, deux interruptions sont effectuées :
52 une interruption des impulsions elles-mêmes et une interruption de l'alimentation du circuit de commande des grilles des
53 transistors de puissance de l'onduleur.

54

Deux commandes indépendantes arrivent du niveau train : une première SIL2 liée à la coupure des impulsions elle-même et
55 une seconde SIL4 liée à l'application d'un freinage d'urgence.

56

L'implémentation de la fonction peut être résumée par le diagramme suivant :



57

58

59

Fig. 1. Description de la fonction de coupure des impulsions d'un coffre de traction.

60

61

III. DESCRIPTION DE L'APPROCHE ET RESULTATS

62

Afin de modéliser cette fonction, deux solutions technologiques ont été identifiées :

63

- Le logiciel System Analyst,

64

- Le logiciel OpenAltaRica,

65

L'objectif dans les deux cas est de quantifier l'événement suivant : Non-inhibition des impulsions lors d'une commande
66 d'inhibition,

67

1) Modélisation avec System Analyst

68

À l'aide de System Analyst, le cas d'étude a été représenté par les blocs suivants :

69

- Un bloc d'acquisition qui englobe les acquisitions des deux commandes et de l'alimentation du circuit de commande de
70 grille,

71

- Un bloc logiciel,

72

- Un bloc matériel,

73

- Le circuit de commande de grille,

74

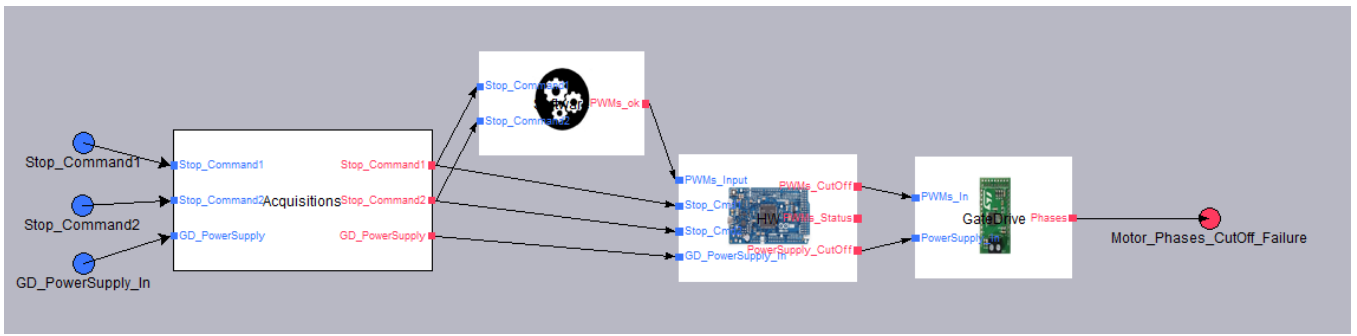


Fig. 2. Modélisation du cas d'étude sous System Analyst.

75

76

77 Les entrées logiques sont conçues selon une approche dite "fail-safe", où l'état haut représente une autorisation et l'état bas
 78 une inhibition. Cette méthode permet de sécuriser les pertes d'alimentation et les coupures de câblage. Dans le bloc d'acquisition,
 79 le mode de panne susceptible de causer une non-inhibition des impulsions est un maintien d'une entrée à l'état haut qui sera
 80 modélisé pour chacune des deux entrées.

81 Les composants des systèmes doivent être testés régulièrement pour garantir qu'ils sont exempts de défaillances. Par
 82 conséquent, une loi périodique simple est mise en œuvre en se basant sur un taux de panne intrinsèque du composant et un temps
 83 de latence correspondant au temps maximal nécessaire pour détecter toute panne du composant.

84 Les acquisitions étant de niveau SIL2 et conformément à la norme EN50129 [R6], leurs taux de panne aléatoire doivent être
 85 strictement inférieurs à 1.00E-6 défaillances par heure. Une valeur de 9.00E-6 défaillances par heure est prise pour tout élément
 86 SIL2 afin de faciliter l'analyse.

87 Étant donné que l'application de la coupure des impulsions est réalisée en station, il est possible de détecter une défaillance
 88 sur cette entrée à plusieurs reprises au cours une journée de service. En revanche, comme l'activation d'un freinage d'urgence
 89 n'est pas systématique, un test au démarrage est instauré, soit une durée de 24 heures. Entre chaque station, un pire cas d'une
 90 durée d'une heure est pris en compte. Les deux modes de pannes liés aux blocs d'acquisition ont donc les caractéristiques
 91 suivantes :

- 92 - Entrée de coupure des impulsions (commande 1) : Loi simple de tests périodiques avec un taux de panne de 9.00E-6
 93 défaillances par heure et un temps de latence de 1 heure,
- 94 - Entrée de freinage d'urgence (commande 2) : Loi simple de tests périodiques avec un taux de panne de 9.00E-6
 95 défaillances par heure et un temps de latence de 24 heures,

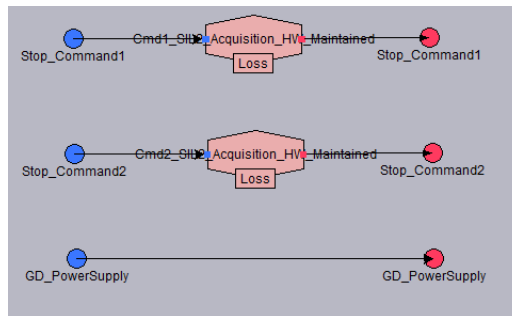


Fig. 3. Bloc Acquisitions

96

97

98 Pour le bloc logiciel, celui-ci n'est pas pris en inclus dans une approche quantitative étant donné qu'il n'est pas soumis aux
 99 pannes aléatoires. Il est simplement modélisé par sa logique fonctionnelle qu'il gère à travers ses deux entrées :

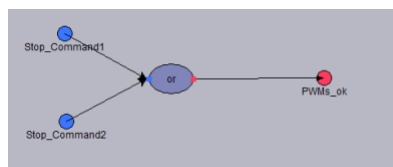


Fig. 4. Bloc de coupe logiciel

100

101

102 Pour le bloc de coupure matériel, il est composé de deux modes de pannes potentiels :

- 103 - Une absence de coupure des impulsions due à un mécanisme de coupure matérielle défaillant,
- 104 - Une absence de coupure de l'alimentation du circuit de commande des grilles,

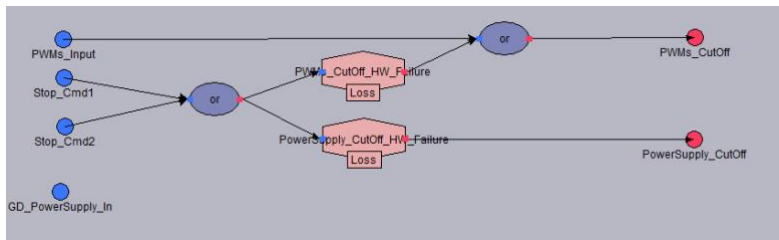


Fig. 5. Bloc de coupure matériel

Les deux modes de pannes associés au bloc de coupure matérielle présentent les caractéristiques suivantes :

- Coupure des impulsions : Loi simple de tests périodiques avec un taux de panne de $9.00E-6$ défaillances par heure et un temps de latence de 24 heure,
- Coupure de l'alimentation : Loi simple de tests périodiques avec un taux de panne de $9.00E-6$ défaillances par heure et un temps de latence de 24 heures,

Enfin pour le bloc représentant le circuit de commande des grilles, la logique fonctionnelle suivante a été modélisée :

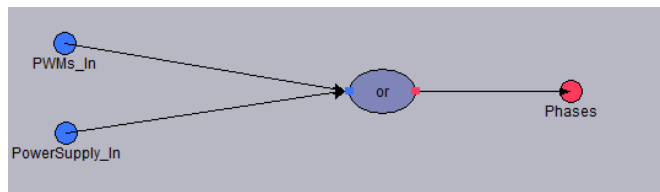


Fig. 6. Bloc du circuit de commande des grilles

Une simulation interactive ainsi qu'un arbre de défaillance peut être généré afin de calculer une probabilité conditionnelle (CFI) :

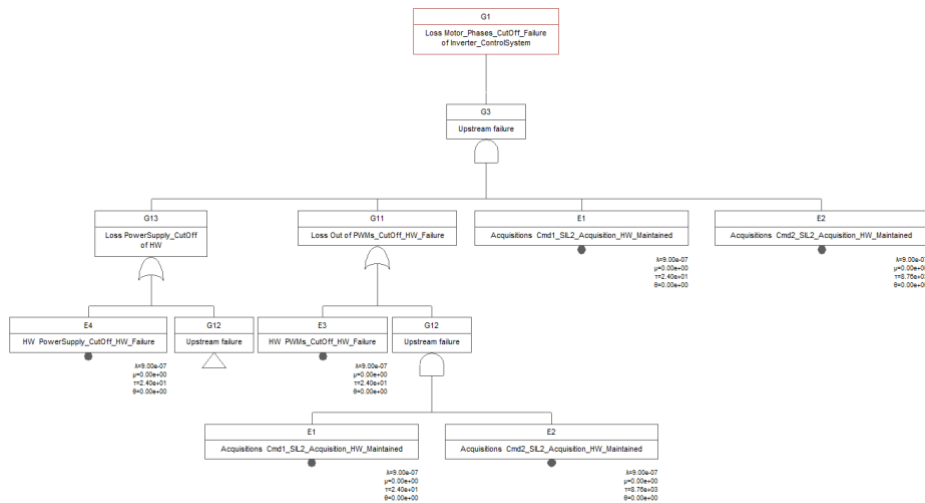


Fig. 7. Arbre de défaillance généré à partir de System Analyst

1) Modélisation avec OpenAltRica

L'outil OpenAltRica nécessite une maîtrise directe du langage AltaRica 3.0 [R8]. En effet, il est encore dépourvu de représentation graphique. La même décomposition des blocs a été réalisée. Chacun de bloc ont été modélisé avec les points suivants :

- PTCMode:
- État du composant pour représenter si le composant est en opération (OPERATION) ou en test (TEST_MAINTENANCE),
- Modes de panne / Taux de panne : Définition des modes de pannes et des taux associés,
- Variables de flux,
- Événements,

- 130 - Transition associée aux événements,
 - 131 - Assertions
- 132 Voici un exemple d'un bloc d'acquisition modélisé dans le langage :

```

// Name: Cmd_Tested_Acquisition_HW
// Description: Logical input acquisition
class Cmd_SIL2_Acquisition_HW
  // Global Parameters
  PTCMode _Mode (init=OPERATION);

  // Local Parameters
  parameter Real lambda_failure_HIGH = 9E-7;
  CState _State_HIGH (init=WORKING);
  parameter Real lambda_failure_LOW = 1e-5;
  CState _State_LOW (init=WORKING);

  // Variables - Flows
  Logic_Signal in, out (reset=HIGH);

  // Events
  event failure_HIGH (delay=exponential(lambda_failure_HIGH));
  event failure_LOW (delay=exponential(lambda_failure_LOW));

  // Transitions
  transition failure_HIGH: ( _State_HIGH == WORKING and _State_LOW == WORKING) -> _State_HIGH := FAILED;
  transition failure_LOW: ( _State_HIGH == WORKING and _State_LOW == WORKING) -> _State_LOW := FAILED;

  // Assertions
  assertion out:= if _State_HIGH == FAILED then HIGH else if _State_LOW == FAILED then LOW else in;
end

```

133
134 Fig. 8. Modélisation d'un bloc composant en AltaRica 3.0

135 Pour gérer l'aspect des tests périodiques, l'approche dans la modélisation des combinaisons de maintenance en AltaRica 3.0,
136 décrite dans [R1] a été mise en œuvre. L'objectif est de prendre en compte les éléments de testabilité de manière indépendante
137 par rapport à l'architecture et aux composants eux-mêmes. En effet, les tests peuvent être déployés uniquement au niveau
138 fonctionnel. Ainsi, c'est à travers un bloc de supervision que ces tests sont gérés. Ce bloc est constitué uniquement de transitions
139 pour représenter les changements entre les différents modes opérationnels :

```

block Supervisor_Cmd1_SIL2_Acquisition_HW_HIGH
  //Components
  embeds main.Architecture.myCmd1_SIL2_Acquisition_HW as my_Item;
  //Parameters
  PTCMode _Mode (init=OPERATION);
  parameter Real latency_time = 1;
  parameter Real test_maintenance_time = 0;
  parameter Real pSTM = latency_time;
  parameter Real pCTM = test_maintenance_time;
  //Events
  event startTestMaintenance (delay=Dirac(pSTM));
  event completeTestMaintenance (delay=Dirac(pCTM));
  // Transitions
  transition startTestMaintenance: _Mode == OPERATION -> { _Mode := TEST_MAINTENANCE; my_Item._Mode := TEST_MAINTENANCE; }
  transition completeTestMaintenance: _Mode == TEST_MAINTENANCE -> {
    _Mode := OPERATION;
    my_Item._Mode := OPERATION;
    my_Item._State_HIGH := switch {
      case my_Item._State_HIGH == FAILED : WORKING
      default: WORKING;
    }
  }
end

```

140
141 Fig. 9. Modélisation d'un bloc de supervision en AltaRica 3.0

142

143 Enfin, un bloc d'architecture modélise l'ensemble de l'architecture du cas d'application et permet de relier les différents
144 composants pris en compte ainsi que les logiques fonctionnelles, telles que la logique du logiciel. Ce bloc est constitué
145 uniquement d'assertions, car il représente simplement l'intégration des sous-composants entre eux.

146

```
block Architecture

// System inputs
Logic_Signal Stop_Command1 (reset=HIGH);
Logic_Signal Stop_Command2 (reset=HIGH);
Power_Supply GD_PowerSupply_In (reset=ACTIVE);

// System outputs
PWMs Motor_Phases_Cutoff_Failure (reset=ACTIVE);

// Internal
PWMs Motor_Phases_SW (reset=ACTIVE);
Logic_Signal HW_CMD_AND (reset=HIGH);
Logic_Signal HW_PWMs_Cut (reset=HIGH);
Logic_Signal HW_PS_Cut (reset=HIGH);
PWMs Motor_Phases_HW (reset=ACTIVE);
PWMs PS_HW (reset=ACTIVE);

//Observation
Boolean Safety (reset=false);
Boolean Availability (reset=false);

//Components
Input_Controller my_Input_Controller;
Cmd_SIL2_Acquisition_HW myCmd1_SIL2_Acquisition_HW;
Cmd_SIL2_Acquisition_HW myCmd2_SIL2_Acquisition_HW;
PowerSupply myPowerSupply_Acquisition;
PowerSupply_CutOff_HW myPowerSupply_CutOff_HW;
PWMs_CutOff_HW myPWMs_CutOff_HW;

assertion
//Acquisitions
my_Input_Controller.in1 := Stop_Command1;
my_Input_Controller.in2 := Stop_Command2;
myCmd1_SIL2_Acquisition_HW.in := my_Input_Controller.out1;
myCmd2_SIL2_Acquisition_HW.in := my_Input_Controller.out2;
myPowerSupply_Acquisition.in :=GD_PowerSupply_In;

//Software
Motor_Phases_SW := if (myCmd1_SIL2_Acquisition_HW.out == LOW or myCmd2_SIL2_Acquisition_HW.out == LOW) then STOPPED else ACTIVE;

//Hardware
HW_CMD_AND := if (myCmd1_SIL2_Acquisition_HW.out == LOW or myCmd2_SIL2_Acquisition_HW.out == LOW) then LOW else HIGH;
myPowerSupply_CutOff_HW.in := HW_CMD_AND;
myPWMs_CutOff_HW.in := HW_CMD_AND;

HW_PWMs_Cut := myPWMs_CutOff_HW.out;
HW_PS_Cut := myPowerSupply_CutOff_HW.out;
Motor_Phases_HW := if (Motor_Phases_SW == STOPPED or HW_PWMs_Cut == LOW) then STOPPED else ACTIVE;
PS_HW := if (myPowerSupply_Acquisition.out == LOSS or HW_PS_Cut == LOW) then STOPPED else ACTIVE;

// Gate Drive
Motor_Phases_Cutoff_Failure := if (Motor_Phases_HW == STOPPED or PS_HW == STOPPED) then STOPPED else ACTIVE;

//Observation
Safety := if ((my_Input_Controller.out1 == LOW or my_Input_Controller.out2 == LOW) and Motor_Phases_Cutoff_Failure == ACTIVE) then true else false;

observer Boolean Observer_Safety = Safety;
end
```

147

148

149

Fig. 10. Modélisation du bloc d'architecture

150 Un observateur de sécurité est déclenché quand les impulsions ne sont pas désactivées tout en ayant les deux demandes de
151 demande d'arrêt désactivées. Une simulation interactive, ainsi qu'une simulation stochastique sur une année avec un échantillon
152 de 10 000 exécutions, a été réalisée pour quantifier cet événement.

153

154

IV. L'APPROCHE PAR LES MODELES DANS LE FERROVIAIRE

155

156 Le cas d'usage décrit dans le paragraphe précédent démontre la faisabilité d'utiliser l'approche par les modèles pour quantifier
157 des événements de sécurité dans le domaine ferroviaire. Le management de la sécurité, tel qu'il est défini dans le dossier de
158 sécurité et dont la structure est décrite dans l'EN50126-2[R3] et l'EN50129[R6] restera d'application.

159

L'approche par les modèles peut être utile pour :

- 160 - Faciliter les interactions entre les équipes d'ingénierie et les équipes de sûreté de fonctionnement. En effet, il est souvent
161 complexe de réviser les arbres de défaillance avec des concepteurs peu familiarisés avec une logique de
162 dysfonctionnement.
- 163 - Favoriser une approche basée sur la réutilisation de blocs de base au sein d'une architecture pour un projet.
- 164 - Simplifier la gestion des modes opérationnels, qui peuvent être multiples dans les applications ferroviaires, en utilisant
165 des superviseurs capables d'ajuster les effets en fonction du mode actif.

166 L'approche par modélisation nécessite l'utilisation d'outils spécifiques, qui ne sont pas encore pleinement reconnus. Les
167 normes EN50128[R4]/EN50657[R5] et l'EN50129[R6] exigent une évaluation approfondie des outils employés dans le cadre
168 du développement pour garantir qu'ils ne peuvent pas avoir d'impact direct sur la sécurité. Les outils utilisés dans cette étude
169 n'ont pas encore été reconnus ni analysés.

170 Pour pouvoir adopter l'approche par modélisation sans avoir à certifier les outils, il est nécessaire d'effectuer une revue des
171 résultats de l'analyse par un vérificateur, directement au niveau des arbres de défaillance générés, plutôt qu'au niveau du modèle
172 lui-même.

173 V. CONCLUSION

174 Ce cas d'application montre que l'approche par les modèles peut être parfaitement intégrée dans une démonstration de
175 sécurité ferroviaire. Bien que ce cas soit relativement simple, il sera nécessaire à l'avenir de modéliser des systèmes plus
176 complexes, composés de configurations multiples et de modes opérationnels variés.

177 Si l'approche par les modèles et les outils pour les réaliser ainsi que la vérification et la validation du modèle venait à
178 augmenter en confiance, le secteur pourrait tout à fait l'intégrer directement dans les certifications auprès des évaluateurs
179 indépendants.

180 Les synergies entre les équipes d'ingénierie et les équipements de sûreté de fonctionnement, que ce soit pour enrichir un
181 modèle d'ingénierie ou pour assurer la cohérence entre deux modèles, ne sont actuellement pas encore suffisamment développées
182 pour garantir une intégration réussie de l'approche par modélisation dans le cycle de vie d'un produit ferroviaire.

183

184 VI. ACRONYMES

185 **HW** : HardWare

186 **SW** : SoftWare

187 **TFFR** : Tolerable Failure Rate

188 **SIL** : Safety Integrity Level

189 **MBSA**: Model-Based Saefty Assessment

190 **PBIT**: Power-on Build-In-Test

191 **CFI**: Conditional Failure Intensity

192

193 VII. REFERENCES

- 195 [R1] *Modélisation de combinaisons de maintenance en AltaRica 3.0*, Michel Batteux, Tatiana Prosvirnova,
196 Antoine Rauzy, HAL Id: hal-03462797
- 197 [R2] EN 50126-1. *Applications ferroviaires - Spécification et démonstration de la fiabilité, de la disponibilité, de*
198 *la maintenabilité et de la sécurité (FDMS) - Partie 1 : processus FMDS générique*
- 199 [R3] EN 50126-2. *Applications ferroviaires - Spécification et démonstration de la fiabilité, de la disponibilité, de*
200 *la maintenabilité et de la sécurité (FDMS) - Partie 2 : approche systématique pour la sécurité*
- 201 [R4] EN 50128. *Applications ferroviaires - Systèmes de signalisation, de télécommunication et de traitement -*
202 *Logiciels pour systèmes de commande et de protection ferroviaire*
- 203 [R5] EN 50657. *Applications ferroviaires - Applications du matériel roulant - Logiciels embarqués*
- 204 [R6] EN 50129. *Applications ferroviaires - Systèmes de signalisation, de télécommunications et de traitement -*
205 *Systèmes électroniques de sécurité pour la signalisation*
- 206 [R7] IEC61508 *Sécurité fonctionnelle des systèmes électriques/électroniques/électroniques programmables*
207 *relatifs à la sécurité*
- 208 [R8] *AltaRica 3.0 - Language Specification*